

بررسی امکان استفاده از آزمون غیرمخرب اسپکتروفتوتمتری برای شناسایی چوب کششی صنوبر و چوب فشاری نوئل در چوب آلات تازه بریده شده و خشک شده

زینب فروزان^{۱*}، اصغر طارمیان^۲ و Janin Gerard^۳

*- نویسنده مسئول، دانشجوی کارشناسی ارشد، گروه علوم و صنایع چوب و کاغذ، دانشکده منابع طبیعی، دانشگاه تهران

پست الکترونیک: pari_foroozan@yahoo.com

- استادیار گروه علوم و صنایع چوب و کاغذ، دانشکده منابع طبیعی، دانشگاه تهران

- عضو هیئت علمی، مؤسسه تحقیقاتی CRF - INRA, 54280 Champenoux, فرانسه

تاریخ پذیرش: خرداد ۱۳۹۱

تاریخ دریافت: آذر ۱۳۹۰

چکیده

در این تحقیق امکان استفاده از آزمون غیرمخرب اسپکتروفتوتمتری و تکنیک (CIELAB) برای شناسایی چوب‌های واکنشی شامل چوب کششی صنوبر و چوب‌فشاری نوئل مورد بررسی قرار گرفت. برای این منظور، دو اصله درخت از گونه‌های نوئل (Populus nigra) و صنوبر (Picea abies) حاوی چوب واکنشی از جنگل آموزشی و پژوهشی مؤسسه تحقیقاتی آنگرف در نانسی فرانسه استحصلال شدند. سپس، با استفاده از دستگاه اسپکتروفتوتمتر مدل Miniscan EZ عوامل روشنی (L*) و انعکاس نور (R%) در دو ناحیه چوب واکنشی و چوب نرمال در دو دامنه رطوبتی سبز و خشک (رطوبت ۱۲٪) اندازه‌گیری شد. نتایج نشان دادند که در رطوبت سبز، چوب‌فشاری نوئل از روشنی کمتری در مقایسه با چوب نرمال آن بروخوردار است و در اثر خشک شدن بر روشنی چوب‌فشاری افزوده می‌شود. برخلاف چوب‌فشاری، چوب کششی صنوبر در رطوبت سبز از روشنی بیشتری در مقایسه با چوب نرمال آن بروخوردار بود و در اثر خشک شدن بر روشنی آن نیز افزوده شد. تفاوت بین عوامل روشنی و انعکاس نور هر دو نوع چوب واکنشی در مقایسه با چوب نرمال آنها در رطوبت سبز بیشتر بود، بنابراین می‌توان نتیجه‌گیری کرد که شناسایی ماکروسکوپی چوب‌های واکنشی در شرایط رطوبت سبز آسانتر از شرایط خشک است.

واژه‌های کلیدی: آزمون غیرمخرب، اسپکتروفتوتمتری، چوب واکنشی، چوب فشاری.

مقدمه

گونه و شرایط خشک کردن است. ناهمگنی در ساختمان آناتومی چوب ممکن است رنگ آن را نیز تحت تأثیر قرار دهد (Perre, 2007). یکی از این نوع ناهمگنی‌ها، تشکیل چوب واکنشی است. چوب واکنشی، چوب غیرنرم‌الی است که در درختان سوزنی برگ تحت عنوان چوب‌فشاری معمولاً در قسمت زیرین تنه یا شاخه خمیده و در پهن

رنگ چوب به عوامل متعددی، مانند: گونه، سن، مواد استخراجی و جهت الیاف وابسته است و خشک کردن نیز رنگ آن را تحت تأثیر قرار می‌دهد (Charrier et al., 1995; Burtin et al., 1998; Nishino et al., 1998) شدت تغییر رنگ چوب در اثر خشک شدن وابسته به نوع

روش‌های مذکور، تکنیک رنگ‌آمیزی با سافرانین و آسترابلو برای شناسایی چوب‌کششی و یا مطالعه‌های میکروسکوپی برای شناسایی چوب‌فشاری نیازمند برش نمونه و تهیه مقاطع میکروسکوپی است که علاوه بر تخریب چوب، زمان بر نیز می‌باشد. تکنیک اسپکتروفوتومتری (رنگ‌سنجدی) یکی از تکنیک‌های غیرمخرب است که می‌توان به کمک آن میزان رنگ را به صورت کمی بر روی سطوح مختلف اندازه‌گیری نمود. در این تحقیق، قابلیت استفاده از آزمون غیرمخرب اسپکتروفوتومتری و تکنیک CIELAB برای شناسایی چوب‌های واکنشی مورد بررسی قرار گرفت. برخلاف روش‌های میکروسکوپی، با استفاده از تکنیک رنگ‌سنجدی شناسایی چوب‌های واکنشی بدون نیاز به برش و تهیه نمونه مستقیماً بر روی مقطع عرضی گردیده‌های و یا بر روی الارها و چوب‌آلات بريده شده و در مدت زمان کم امکان‌پذیر است. همچنین، برخلاف روش‌های میکروسکوپی، بدون نیاز به انتقال چوب به محل آزمایشگاه، شناسایی چوب‌واکنشی در محل یارد یا انبار کارخانه با یک دستگاه اسپکتروفوتومتر پرتابل امکان‌پذیر است.

مواد و روش‌ها

نمونه‌برداری

از گونه‌های صنوبر (*Populus alba*) و نوئل (*Picea abies*) برای مطالعه استفاده شد. برای این منظور، دو اصله درخت از هر گونه از جنگل آموزشی و پژوهشی مؤسسه تحقیقاتی آنگرف واقع در نانسی فرانسه که حاوی چوب‌واکنشی بودند در فصل بهار قطع شد. سپس، سه نمونه تخته به ابعاد

برگ تحت عنوان چوب کششی معمولاً در قسمت فوقانی تنہ و یا شاخه خمیده تشکیل می‌شود. چوب‌واکنشی اغلب به عنوان یک عیب محسوب می‌شود و حضور چوب‌واکنشی در چوب‌آلات تأثیر منفی بر خواص کاربردی آنها داشته و کاربرد آنها را برای بعضی از Tarmian *et al.*, 1986; 2009; بنابراین، شناسایی و بررسی حضور چوب‌های واکنشی در گرده‌بینه‌ها و یا چوب‌آلات بریده شده مهم است. اخیراً روش‌های مخرب و غیرمخرب متعددی توسط محققان برای شناسایی چوب‌واکنشی به کار گرفته شده است. برای مثال، برای شناسایی چوب کششی از ظاهر درخشان و برآق آن (Badia *et al.*, 2005) تکنیک رنگ‌آمیزی روی-کلر-ید (معرف هرزبرگ) و یا تکنیک رنگ‌آمیزی با سافرانین و آسترابلو (Dogu & Grabner, 2010) استفاده شده است. در بین روش‌های شناسایی چوب‌فشاری می‌توان به تکنیک تصویربرداری فلورسانس هم‌کانونی (Donaldson *et al.*, 2010)، تصویر-برداری میکروسکوپی از طریق انعکاس نور (Duncker & Altaner *et al.*, 2009)، طیف‌سنجدی FTIR (Specker, 2009) و طیف‌سنجدی با اشعه X (Nyström & Kline, 2009) اشاره کرد. نتایج تحقیقات Nyström & Kline (2000) در شناسایی چوب‌فشاری گونه کاج زرد جنوبی با استفاده از تکنیک طیف‌سنجدی با اشعه X نشان داد که به دلیل میزان رطوبت‌سیز متناقض تخته‌ها و دامنه‌ی گستردگی از دانسیته، تغییرات دانسیته ناشی از چوب‌فشاری قابل‌شناسایی نبوده و برای شناسایی چوب‌فشاری در شرایط رطوبت‌سیز موفقیت‌آمیز نیست. اغلب روش‌های ذکر شده برای شناسایی چوب‌واکنشی از چوب‌نرم‌مال بر پایه واکنش رنگی متفاوت آنها استوار بوده است. به طوری که در بین



**شکل ۱- دستگاه اسپکتروفتوتمتر مورد استفاده
(Miniscan EZ)**

ساختار کلی یک دستگاه اسپکتروفتوتمتر شامل منبع نور، محفظه نوری با شکل ژئومتری و یا هندسه اندازه‌گیری، آشکارساز و مفسر است. برای اندازه‌گیری رنگ، لنز حساس رنگ‌سنج روی سطح جسم موردنظر که می‌تواند یک پلاستیک رنگی یا قطعه‌ای چوبی باشد، قرار می‌گیرد. بعد از این مرحله، اپراتور، چشم نور دستگاه را فعال می‌کند و نور از سطح قطعه منعکس می‌شود و یا عبور می‌کند و داده‌های حاصل به یک پردازشگر منتقل می‌شود. $R(\lambda)$ به طور مستقیم شاخصی از میزان روشنایی (L^*) در سیستم CIELab می‌باشد. با توجه به منحنی حساسیت چشم انسان ($y(\lambda)$) می‌توان Y را از معادله زیر محاسبه کرد:

$$Y = \sum_{400}^{700} y(\lambda) \cdot E(\lambda) \cdot R(\lambda) \cdot d\lambda \quad (1)$$

در معادله فوق:

$E(\lambda)$ منبع نور مورد استفاده، $y(\lambda)$ منحنی حساسیت چشم انسان، $R(\lambda)$ منحنی انعکاس برای هر طول موج و $(d\lambda)$ دامنه در نظر گرفته شده برای اندازه‌گیری متوالی است.

رنگ چوب‌های واکنشی و نرمال در شرایط سبز، تخته‌ها در یک کیسه پلاستیکی در یک محیط سرد قرار گرفتند- تا از خروج رطوبت آنها جلوگیری شود. عملیات رنگ-سنجی قبل و بعد از خشک کردن برای تخته‌ها اندازه-گیری شد.

خشک کردن تخته‌ها

بعد از رنگ‌سنجی تخته‌های آزمونه در شرایط سبز، آزمونه‌ها تحت شرایط ثابت و ملایم (دماي 50°C و رطوبت نسبی ۷۰ درصد) در یک خشک‌کن آزمایشگاهی تا رطوبت‌نهایی ۱۲ درصد خشک شدند و بعد در شرایط خشک شده، رنگ‌سنجی روی آزمونه‌ها مجدداً انجام شد.

اندازه‌گیری عوامل روشنی^{*} L^* و انعکاس نور (λ) برای اندازه‌گیری عوامل روشنی^{*} L^* و انعکاس نور (λ) $R(\lambda)$ نمونه‌ها، آزمون اسپکتروفتوتمتری توسط دستگاه اسپکتروفتوتمتر (Miniscan EZ) که نوعی دستگاه طیف-سنجی است، انجام شد (شکل ۱). به‌منظور کاهش خطای اندازه‌گیری؛ هر نمونه دوبار اندازه‌گیری شد. تمام اندازه‌گیری‌ها بر روی دو نقطه از مقطع عرضی هر تخته انجام شد. دقت دستگاه اسپکتروفتوتمتر XYZ ۰/۰۲ بود. مساحت ناحیه اندازه‌گیری رنگ برابر قطر دیافراگم دستگاه اسپکتروفتوتمتر بود. موقعیت اسپکتروفتوتمتر بر روی نمونه‌های چوبی توسط دو خطکش عمود برهم تنظیم شد و همین موقعیت، قبل و بعد از خشک کردن مورد اندازه-گیری قرار گرفت.

نتایج

چوب فشاری و چوب نرمال نوئل

نتایج نشان داده‌اند که در هر دو دامنه‌ی رطوبتی، میزان L^* در ناحیه چوب فشاری کمتر از چوب نرمال است (جدول ۱). به عبارتی دیگر، میزان روشنایی در چوب نرمال بیشتر از چوب فشاری است. همچنین، در اثر خشک شدن بر روشنایی هر دو نوع چوب فشاری و نرمال افزوده شده اما افزایش روشنایی در چوب نرمال بیشتر از افزایش آن در چوب فشاری بود (جدول ۱).

در شکل ۲ تغییرات منحنی انعکاس نور، (λ) $R\%$ f در کل طول موج قابل رویت برای انسان (۴۰۰ nm تا ۷۰۰ nm) ارائه شده است. مقادیر $R\%$ و $DR\%$ نیز برای چوب‌های واکنشی و نرمال در جدول ۲ خلاصه شده است. نتایج عامل ($R(\lambda)$) که شاخص روشنایی (L^*) در سیستم CIELAB می‌باشد، نشان‌دهنده‌ی روشنایی بیشتر چوب فشاری و چوب نرمال در شرایط خشک نسبت به حالت مرطوب است.

با در نظر گرفتن Y^* برای کاشی سفید استاندارد، ضریب روشنایی (L^*) در سیستم CIELAB را می‌توان با معادله ۲ محاسبه کرد:

$$(2) \quad L^* = 116(Y/Y^*)^{1/3} - 16$$

به این ترتیب، انعکاس کل نور برابر خواهد بود با:

$$Total R\% = \sum_{400}^{700} R(\lambda) d\lambda$$

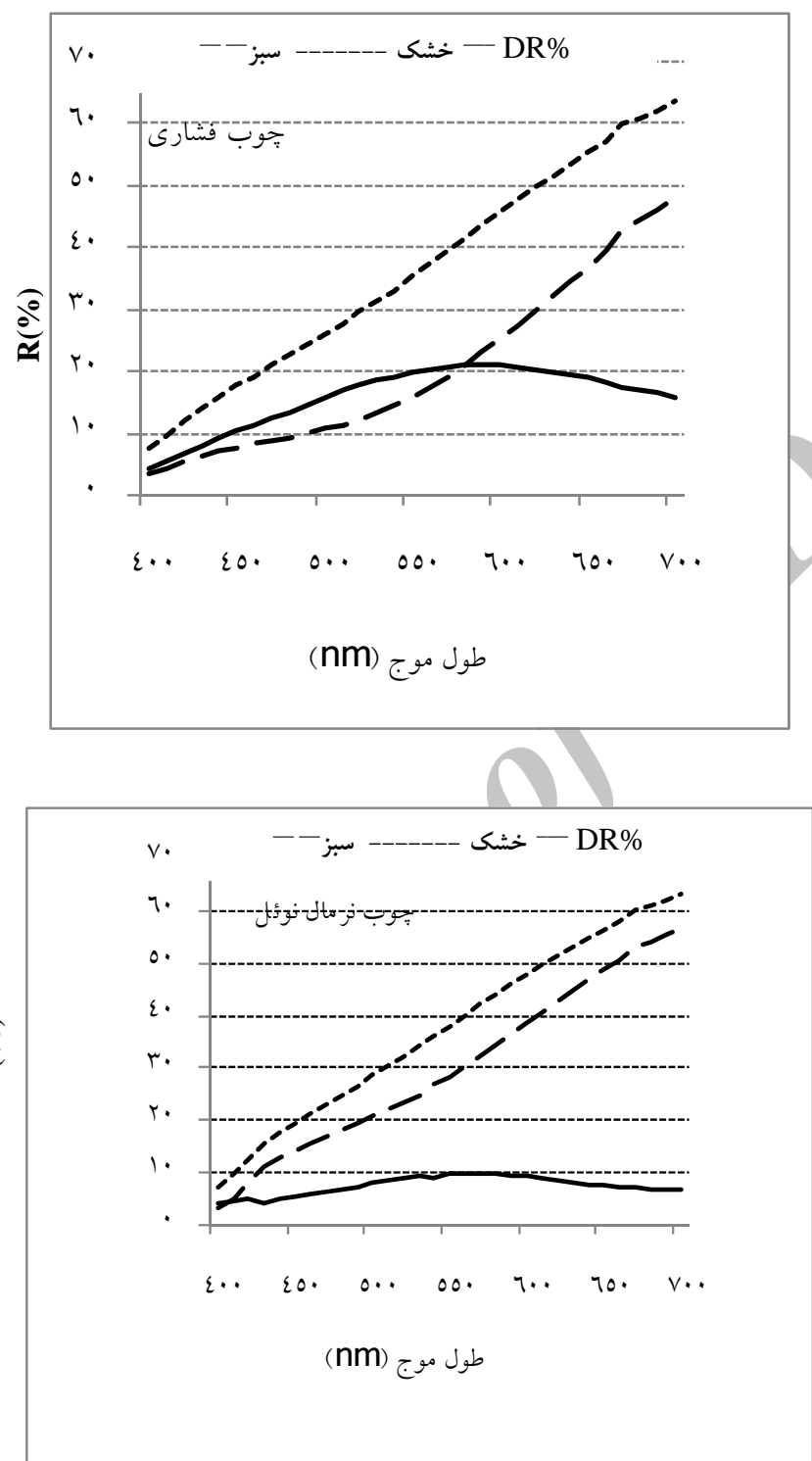
تغییرات انعکاس نور و (λ) $f\%$ در مقابل طول موج برای هر نمونه چوب جداگانه رسم شد. همچنین گرادیان انعکاس نور (DR%) هر نمونه چوب در حالت خشک و مرطوب محاسبه شد. متغیر h^* بر روی هریک از ناحیه‌های چوب واکنشی و نرمال به صورت مجزا اندازه‌گیری و محاسبه شد. متغیر h_{ab} براساس معادله زیر محاسبه شد (معادله ۴):

$$(4) \quad h^* = Arctg\left(\frac{b^*}{a^*}\right)$$

اندازه‌گیری متغیرهای روشنایی L^* و انعکاس نور f (λ) با دو تکرار انجام شد.

جدول ۱- مقادیر عوامل L^* ، ΔL^* و $(^o) h$ چوب‌های واکنشی نوئل و صنوبر

ΔL^*	L^*	$h(^o)$	دامنه رطوبتی	نوع چوب	گونه
$+17/26$	۴۴/۸۹	۵۶/۱۵	سبز	چوب فشاری	نوئل
	۶۲/۴۴	۷۰/۴۸	خشک		
$+19/45$	۵۴/۶۵	۶۳/۰۳	سبز	چوب نرمال	
	۶۷/۹۵	۷۸/۵۱	خشک		
$+9/88$	۶۳/۷۰	۷۲/۱۹	سبز	چوب کششی	صنوبر
	۷۳/۳۲	۸۱/۳۸	خشک		
$+12/07$	۵۶/۴۲	۷۰/۴۸	سبز	چوب نرمال	
	۶۹/۹۲	۷۸/۶۵	خشک		



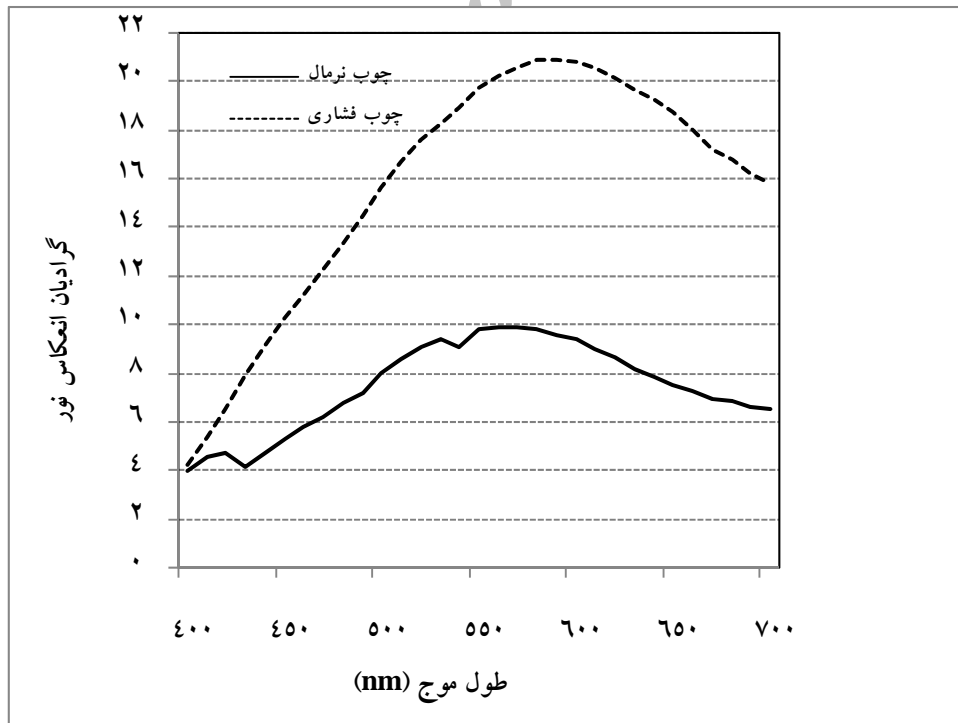
شکل ۲- تغییرات انعکاس نور (R%) چوب فشاری و نرمال نوئل

جدول ۲- مقادیر عوامل انعکاس نور (R%) و گرادیان انعکاس نور (DR%) برای چوب‌های واکنشی

گونه	نوع چوب	دامنه رطوبتی	کل R%	کل DR%
نوئل	چوب فشاری	سبز	۶۲۸/۲۸	۴۸۸/۹۲
		خشک	۱۱۱۶/۲	۱۱۱۶/۲
صنوبر	چوب نرمال	سبز	۹۳۷/۹۳	۲۳۰/۴۶
		خشک	۱۱۶۸/۳۹	۱۱۶۸/۳۹
صنوبر	چوب کششی	سبز	۱۰۰۶/۹۳	۳۴۸/۹۵
		خشک	۱۳۵۵/۸۸	۱۳۵۵/۸۸
نوئل	چوب نرمال	سبز	۷۸۶/۰۸	۵۰۴/۷
		خشک	۱۲۹۰/۷۸	۱۲۹۰/۷۸

شناسایی ماکروسکوپی چوب‌فشاری از چوب‌نرمال با استفاده از عوامل روشنایی و انعکاس نور در شرایط سبز آسانتر از شرایط خشک است.

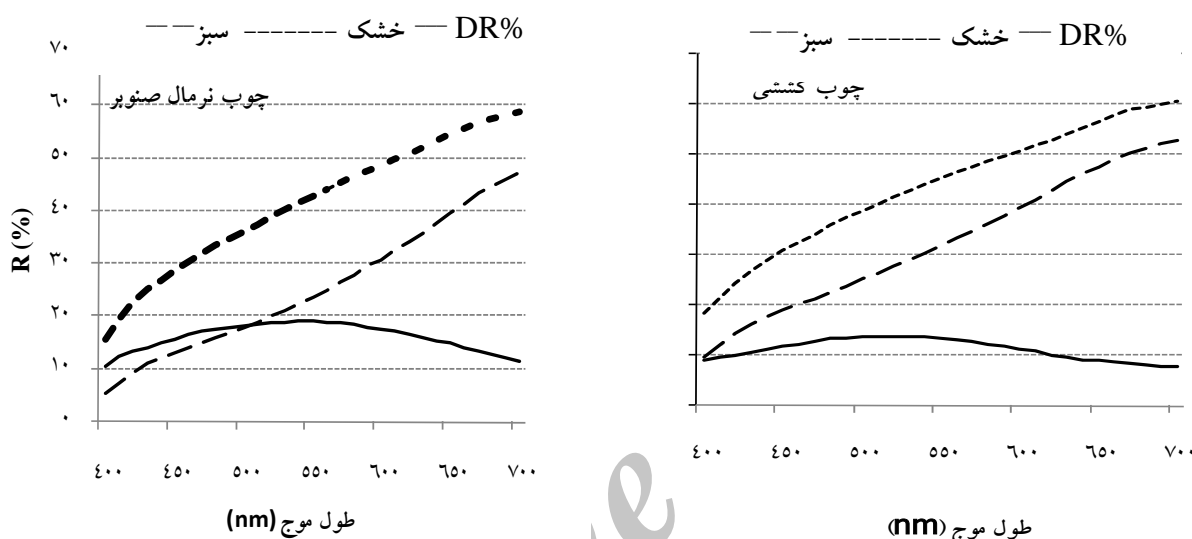
حداکثر DR% در هر دو نوع چوب در طول موج nm ۵۹۰ رخداد (شکل ۳). در مورد هر دو عامل R% و *L_a تفاوت بین چوب‌فشاری و نرمال در رطوبت سبز محسوس‌تر از شرایط خشک بود. به عبارت دیگر،



شکل ۳- گرادیان انعکاس نور (DR%) در چوب‌فشاری و نرمال نوئل

افزایش می‌یابد (جدول ۱). در شکل ۴ تغییرات انعکاس نور (R%) چوب‌کششی و نرمال صنوبر در شرایط رطوبت‌سیز و خشک در مقابل طول موج نشان داده شده است. به نحوی که افزایش روشنایی چوب نرمال در اثر خشک شدن نسبت به چوب‌کششی بیشتر بود (جدول ۱).

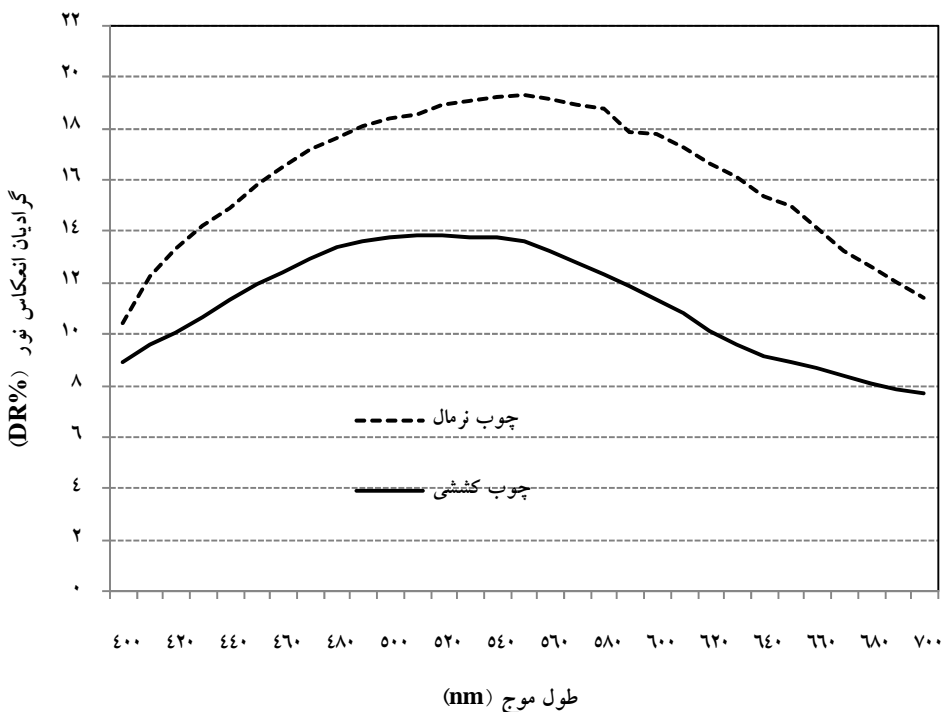
نتایج نشان داد که برخلاف چوب‌فشاری، چوب‌کششی دارای روشنایی بیشتری نسبت به چوب نرمال در حالت مرطوب است (جدول ۱) و همانند آنچه که در چوب‌فشاری و نرمال مشاهده شد، روشنایی چوب‌کششی و نرمال صنوبر نیز در اثر خشک شدن



شکل ۴- تغییرات انعکاس نور (R%) چوب‌کششی و نرمال صنوبر

چوب‌فشاری: $70/48^{\circ}$). نتایج نشان داد که در اثر خشک شدن، از شدت تفاوت عوامل $R\%$ و L^* بین چوب‌کششی و نرمال کاسته می‌شود. بنابراین، به منظور شناسایی چوب‌کششی از روی درخشنندگی آن (اندازه-گیری پارامترهای $R\%$ و L^*) بهتر است این شناسایی در چوب‌آلات خیس و تازه بریده شده انجام شود.

میزان حداقل DR% برای چوب‌کششی در طول موج ۵۲۰ nm ($DR=13/86$) و برای چوب‌نرمال در طول موج ۵۵۰ nm ($DR=19/31$) به دست آمد (شکل ۵). میزان DR% برای چوب‌کششی و چوب‌فشاری، به ترتیب، در طول موج ۵۲۰ و ۵۹۰ نانومتر حداقل بود (جدول ۳). این تفاوت بیان‌کنندهٔ علت تفاوت زاویه فام (hue angle) در دو نوع چوب‌واکنشی می‌باشد (چوب‌کششی: $81/38^{\circ}$ و



شکل ۵- گرادیان انعکاس نور ($DR\%$) در چوب کششی و نرمال صنوبر در شرایط رطوبت‌سوز و خشک

جدول ۳- حداقل گرادیان انعکاس نور ($DR\%$) برای چوب‌های واکنشی در طول موج متناظر در برابر زاویه hue

چوب فشاری	چوب کششی	عامل
۷۰/۴۸	۸۱/۳۸	Hue (°) زاویه
۵۹۰ nm (٪۲۰/۸۳)	۵۲۰ nm (٪۱۳/۸۶)	حداکثر اختلاف انعکاس نور در طول موج (nm)

بحث
در چوب‌فشاری در مقایسه با چوب‌نرمال کمتر است. با توجه به نتایج تحقیقات متعدد مبنی براین‌که چوب-فشاری حاوی لیگنین بیشتری است (Timell, 1986); بنابراین یکی از دلایل اصلی روشنی کمتر چوب‌فشاری می‌تواند ناشی از وجود میزان لیگنین بالا در این نوع چوب‌واکنشی باشد. به طور کلی در اثر لیگنین بالا چوب-فشاری نور بیشتری جذب می‌کند. ضخامت بیشتر دیوار

در تحقیق حاضر، از آزمون غیرمخرب اسپکتروفتومتری برای اندازه‌گیری عوامل روشنایی (L^*) و انعکاس نور ($R\%$) دو نوع چوب‌واکنشی (چوب‌فشاری نوئل و چوب‌کششی صنوبر) در مقایسه با چوب‌نرمال آنها در دو حالت سوز و خشک استفاده شد. به طور کلی نتایج نشان داد که در هر دو دامنه‌رطوبتی مقادیر L^* و

شناسایی چوب فشاری گونه نوئل تحت شرایط رطوبت-سبز امکان پذیر بوده و حتی با سهولت بیشتری در مقایسه با شرایط خشک انجام می‌شود. بنابراین، استفاده از آزمون غیر مخرب اسپکترو فوتومتری و اندازه گیری فقط یکی از عوامل L^* و یا R در مقطع عرضی چوب آلات تازه بریده شده برای شناسایی چوب‌های واکنشی صنوبر و نوئل پیشنهاد می‌شود. با توجه به این که چوب‌های واکنشی در درختان با شدت‌های متفاوتی تشکیل می‌شوند، بنابراین استفاده از آزمون غیر مخرب اسپکترو فوتومتری برای طبقه‌بندی چوب‌های واکنشی از لحاظ شدت واکنشی بودن برای تحقیقات بعدی پیشنهاد می‌شود.

منابع مورد استفاده

- Altaner, C.M., Tokareva, E.N., Wong, J.C.T., Hapca, A.I., McLean, J.P. and Jarvis, M.C., 2009. Measuring compression wood severity in spruce. *Wood Science and Technology*, 43(3-4): 279-290.
- Badia, M.A., Mothe, F., Constant, T. and Nepveu, G., 2005. Assessment of tension wood detection based on shiny appearance for three poplar cultivars. *Annals of Forest Science*, 62(1): 43-49.
- Burtin, P., Jay-Allemand, C., Charpentier, J.P. and Janin, G., 1998. Natural wood colouring process in *juglans sp.* (*juglans nigra*, *juglans regia*, and hybrid *juglans nigra* NG 23 x *juglans regia*) depends on native phenolic compounds accumulated in the transition zone between sapwood and heartwood. *Trees*, 12: 258-264.
- Charrier, B., Janin, G., Haluk, J.P. and Mosedale, J.R., 1995. Colour and chemical characteristics of moon rings in oak wood. *Holzforschung*, 49(4): 287-292.
- CIE (1986). Colorimetry. 2nd edn. Central Bureau of Commission Internationale de l'Eclairage, Vienna, Austria, 1986. Publication No. CIE 15.2.
- Dogu, A.D., Grabner, M., 2010. A staining method for determining severity of tension wood. *Turkish Journal of Agriculture and Forestry*, 34(5): 381-392.
- Donaldson, L., Radotić, K., Kalauzi, A., Djikanović, D. and Jeremić, M., 2010. Quantification of compression wood severity in tracheids of *Pinus radiata* D. Don using confocal fluorescence imaging and spectral deconvolution. *Journal of Structural Biology*, 169(1): 106-115.

سلول‌های تراکنیدی در چوب فشاری از دلایل دیگر کاهش L^* در این چوب است. بنابراین با افزایش ضخامت دیوار سلول‌ها در چوب، نور کمتری توسط آن پخش می‌شود. نتایج به دست آمده در این تحقیق با نتایج (Warensjö ۲۰۰۳) مطابقت دارد. برخلاف نتایج به دست آمده برای چوب فشاری، نتایج نشان داد که در هر دو شرایط رطوبت‌سبز و خشک‌شده، چوب‌کششی صنوبر در مقایسه با چوب نرمال آن از روشنی بیشتری برخوردار است و مقادیر L^* و R % در چوب‌کششی بیشتر بود. از این رو میزان روشنایی بالاتر چوب‌کششی احتمالاً به دلیل وجود لایه‌زلاتينی در دیواره سلولی فيرهast. دلیل اصلی این مشاهدات مربوط به وجود میزان سلولز و همی سلولز بیشتر در لایه‌زلاتينی می‌باشد. سایر محققان نیز دریافتند که چوب‌کششی از درخشندگی بیشتری در مقایسه با چوب نرمال برخوردار است (Badia et al., 2005; Tarmian et al., 2009). با وجود این، برخلاف چوب کششی درختان مناطق معتدل، رنگ تیره‌تر چوب کششی در برخی از چوب‌های گرم‌سیری نیز گزارش شده است (Keey et al., 2000; Wenger, 1984). در مجموع، نتایج نشان داد که بین عوامل (R) و (L^*) هر دو نوع چوب واکنشی و چوب نرمال معادل آنها در هر دو دامنه رطوبتی تفاوت محسوسی وجود دارد. با این حال، در شرایط رطوبت‌سبز این تفاوت‌ها بیشتر بود؛ به عبارت دیگر شناسایی هر دو نوع چوب واکنشی از چوب نرمال آنها در شرایط رطوبت‌سبز آسانتر است. برخلاف نتایج تحقیقات Nyström&Kline (۲۰۰۰) مبنی به عدم امکان شناسایی چوب فشاری گونه کاج زرد جنوبی در شرایط رطوبت‌سبز با استفاده از طیف‌سنجی با اشعه X، تحقیق حاضر نشان داد که با استفاده از تکنیک رنگ‌سنجی

- Tarmian, A., Remond, R., Faezipour, M., Karimi, K. and Perré, P., 2009. Reaction wood drying kinetics: Compression wood in *Picea abies* and tension wood in *Fagus sylvatica*. *Wood Sci. Technol.*, 43: 113-130.
- Tarmian, A., Sepeher, A., Rahimi, S., 2009. Drying Stress and Strain in Tension Wood: A Conventional Kiln Schedule to Efficiently Dry Mixed Tension/Normal Wood Boards in Poplar. *Drying Technology*, 27 (10): 1033-1040.
- Timell, T.E. 1986. Compression Wood in Gymnosperms. Springer, Berlin, 2150 p.
- Warensgjö, M., 2003. Compression Wood in Scots Pine and Norway Spruce—Distribution in Relation to External Geometry and the Impact on the Dimensional Stability in Sawn Wood; Doctoral thesis, Swedish University of Agricultural Science, Department of Forest Products and Markets.1-36.
- Wenger, K.F. 1984. Forestry Handbook, 2nd ed. New York, Wiley, 1360p.
- Duncker, P., Spiecker, H., 2009. Detection and classification of Norway spruce compression wood in reflected light by means of hyperspectral image analysis. *IAWA Journal*, 30(1): 59–70.
- Keey, R.B., Langrish, T.A.G. and Walker, J.C.F., 2000. *Kiln-Drying Of Lumber*. Springer, Berlin, 326p.
- Nishino, Y., Janin, G., Chanson, B., Detienne, P., Gril, J. and Thibaut, B., 1998. Colorimetry of wood specimens from French Guiana. *Wood Science* , 44: 3-8.
- Nyström, J., Kline, D.E., 2000. Automatic classification of compression wood in green southern yellow pine. *Wood and Fiber Science* , 32: 301-310.
- Onnerud, H., 2003. Lignin structures in normal and compression wood Evaluation by thioacidolysis using ethanethiol and methanethiol. *Holzforschung*, 57: 377-384.
- Perre, P., 2007. *Fundamentals Of Wood Drying*. European cost A.R.Bo.LOR, Nancy France, 366p.

Possibility of using non-destructive spectrophotometry to detect the poplar tension wood and spruce compression wood in freshly cut and dried timbers

Foroozan, Z.^{1*}, Tarmian, A.² and Gerard, J.³

1*- Corresponding Author, M.Sc., student, Department of Wood and Paper Science and Technology, Faculty of Natural Resources, University of Tehran. Email: pari_foroozan@yahoo.com

2- Assistant Professor, Department of Wood and Paper Science & Technology, Faculty of Natural Resources, University of Tehran.

3- Senior Research Director, CRF - INRA, 54280 Champenoux, France

Received: Nov., 2011

Accepted: May, 2012

Abstract

In this study, the possibility of using spectrophotometry and CIELAB technique to detect reaction woods in poplar tension wood and spruce compression wood was examined. Thus, two sample trees of spruce (*Picea abies*) and poplar (*Populus nigra*) containing reaction wood were felled in a forest belonging to ENGREF (the National Engineering School of Forestry close to Nancy in France). Then lightness (L^*) and reflectance (R) parameters in reaction wood and normal wood both in green and dry conditions were measured. The results showed that in the green condition, the spruce compression wood had less lightness than the normal wood and the lightness of compression wood increased as a result of drying. The difference between the lightness and reflectance parameters of the two types of reaction woods and those of their corresponding normal woods was statistically significant in the green condition. Consequently, it can be concluded that the macroscopical detection of reaction wood is easier in the green condition than in the dry samples.

Key words: Nondestructive test, spectrophotometry, reaction wood, tension wood, compression wood.